

III-44 離散剛要素法における岩の衝撃特性について

鳥取大学工学部 正員。藤村 尚
鳥取大学工学部 正員 木山英郎

1. はじめに

自然斜面における落石形状はきわめて複雑で、落石の運動機構の解析、落下軌跡、衝撃など未知の点が多い。そこで、本研究はカンドルの提案した離散剛要素法（DISCRETE BLOCK METHOD、以後 DBMと称す）を落石運動の解析に適用し、落石運動の分類、類型化を図るのが目的である。

2. 試料定数 K, ϵ の検討

DBMの原理については、すでに報告しているので省略するが、その中で岩塊のもつ弾性的および非弾性的性質とそれを弾性スプリング（剛性定数 K ）と粘性ダッシュボット（粘性定数 ϵ ）で表わし、それらの決定法について言及した。ここでは、自由落下装置を試作し、 K および ϵ の検討を試みる。自由落下装置の試料保持機構は金属用（電磁石を使用し、試料の上部を保持）と岩石用（ソレノイドを使用し、試料の両側から狭んで保持）の2種類である。実験方法は所期の高さから、試料を鋼板上に自由落下させる。この状態は、写真解析を用いて試料の軌跡を求め、反撲係数が算出できる。

実験に供した試料は、ベアリングと岩石である。なお、岩石の試料定数は表-1に示す。花崗岩および石英閃緑岩とともに良質、健全なものである。

図-1, 2は $\phi 25\text{ mm}$

表-1

	直徑(cm)	厚さ(cm)	ヤング率(kg/cm^2)	ボリッヂ式圧縮強度(kg/cm^2)
花崗岩	4.9, 3.5	0.6	6.56×10^5	0.24 2.45
石英閃緑岩	4.9, 3.5	0.6	8.00×10^5	0.27 > 4.90

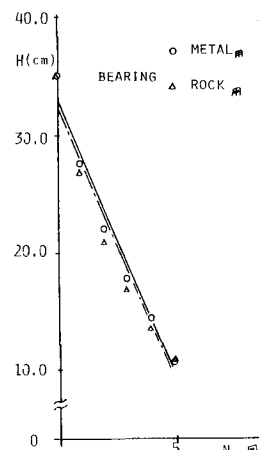


図-3 (ベアリング)

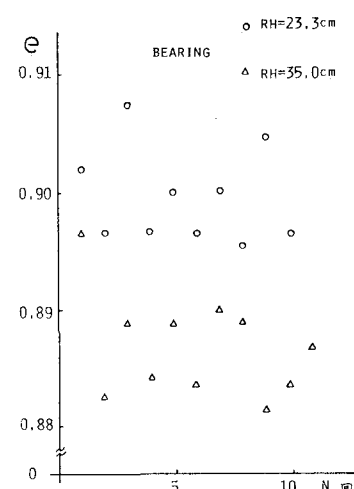


図-1 反撲係数(ベアリング)

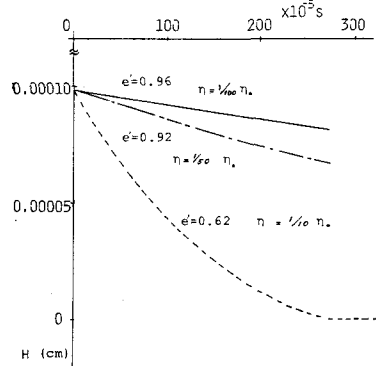


図-4 DBM 解析

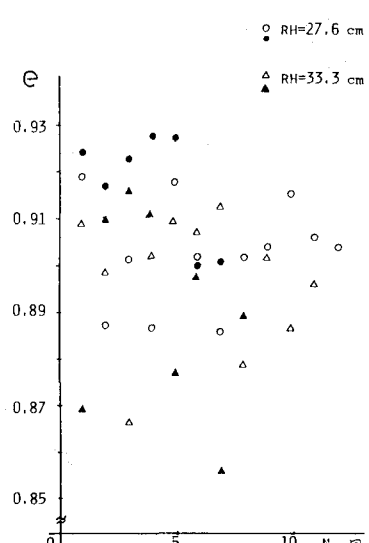


図-2 反撲係数(石英閃緑岩)

のベアリングと石英内線
岩試料における落下回数
約10回の反撃係数 e' を
示している。両試料の反
撃係数は0.9付近に分布
していることがわかる。
とくに、岩石試料の α_s は
直径、落下高さに無関係
のようである。

図-3は試作した試料保
持機構の相違による自由
落下挙動への影響をベア
リング試料において調べ
たもので、差異はほとんど
ないことがわかる。

つぎに、自由落下実験
結果とDBM解析を対応
させる。図-4は、DB
Mによる一球の水平面へ
の落下シミュレーション
のうち頂点の軌跡を示し
ている。粒性ダッシュポット
の大きさによって、軌
跡が異なるのがわかる。

なお、同図には反撃係数
 e' の値も示している。こ
の解析例の諸元は粒子半
径 $r = 0.5 \text{ cm}$, $K_n/\rho g =$
 $7.68 \times 10^4 \text{ cm}$, $\Delta t = 10^{-5} \text{ s}$,
初期落下高さ $RH = 9.8 \times 10^5$
 cm としている。

3. DBM 解析例

斜面への落石挙動につ
いて、表-2に示す諸定

数を用いてDBM解析した結果の一例を図-5に示す。ここでは
粒子半径 0.5 cm , $RH = 3 \text{ cm}$ とし、斜面傾度 $\alpha_s = 30^\circ, 45^\circ,$
 60° の3種類における粒性ダッシュポット効果が衝撃特性への影響について
検討している。

参考文献

木山・藤村：Cundallモデルによる岩質粒状体の流動解析、第17回地盤学会研究発表会
(1982)

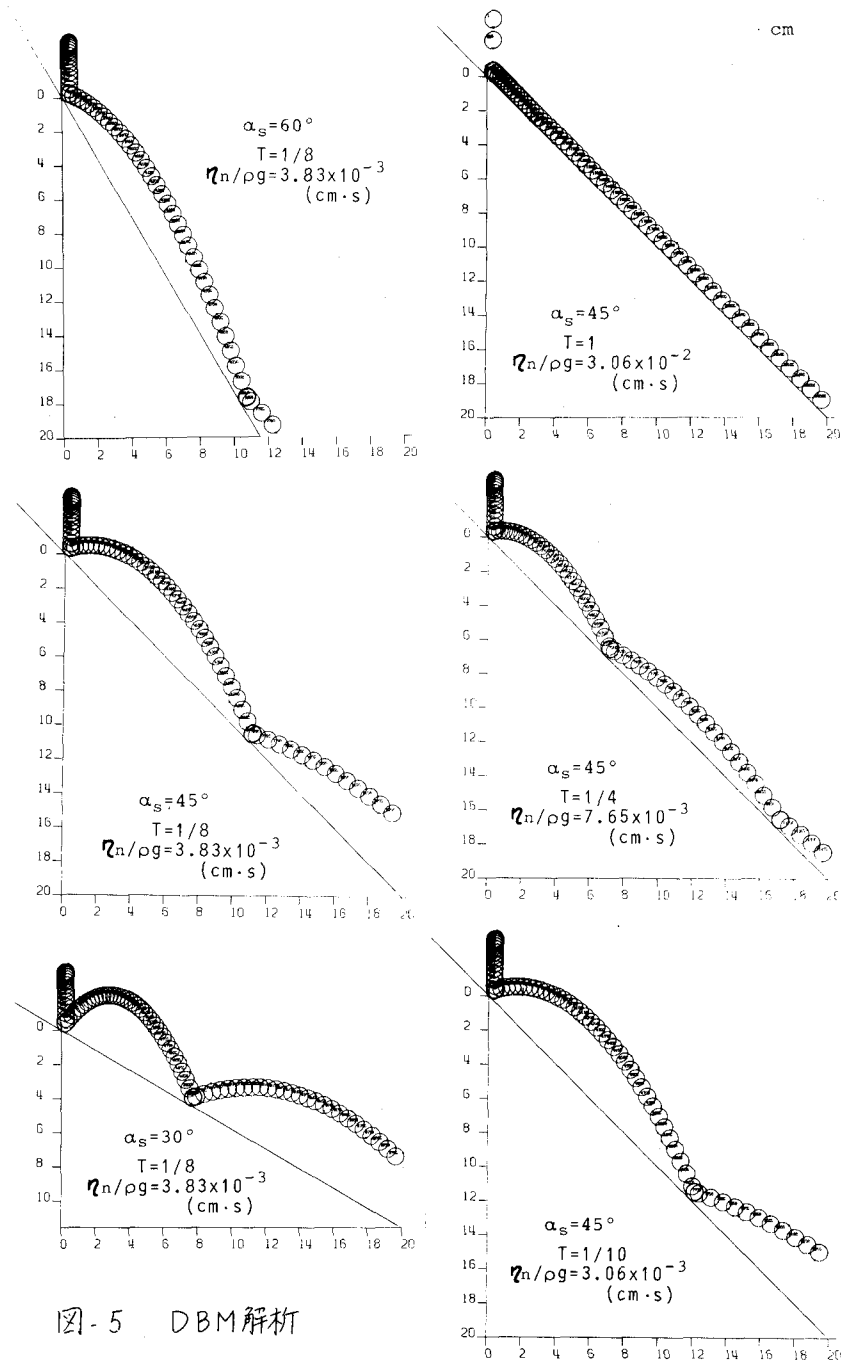


図-5 DBM 解析

表-2

$K_n/\rho g (\text{cm})$	7.28×10^4
$\eta_n/\rho g (\text{cm} \cdot \text{s})$	3.06×10^{-2}
$K_s/\rho g (\text{cm})$	1.82×10^4
$\eta_s/\rho g (\text{cm} \cdot \text{s})$	1.53×10^{-2}
$\mu (\phi)$	$0.176(10^\circ)$